

原位确定 GaAs MESFET 沟道的 掺杂浓度分布和迁移率分布

张友渝

程兆年 张俊岳

(河北半导体研究所 石家庄 050051)

(中国科学院上海冶金研究所 上海 200050)

摘要 本文提出一种原位测定 GaAs MESFET 沟道中掺杂浓度分布和迁移率分布的新方法,建立了测试模型,推导出测量计算公式,用最优化方法处理实验数据,由机助测试系统和计算程序可方便地获得结果

EEACC: 2560S

1 引言

砷化镓肖特基势垒场效应晶体管(GaAs MESFET)沟道的掺杂浓度分布 $N(x)$ 和迁移率分布 $\mu(x)$ 是影响器件微波特性的重要参数,为提高 GaAs MESFET 的微波性能,器件的栅长已缩短到亚微米量级,而且通常采用挖槽的非均匀掺杂沟道,这给测试 GaAs MESFET 沟道掺杂浓度分布 $N(x)$ 和迁移率分布 $\mu(x)$ 带来一定的难度,本文提出了原位测定 GaAs MESFET 沟道掺杂浓度分布及迁移率分布原理,建立了测试模型,推导出测量计算公式,测定迁移率分布 $\mu(x)$ 的原理,是基于半导体的几何磁阻效应,沟道的掺杂浓度分布 $N(x)$,则是从 GaAs MESFET 本征沟道电阻 $R_i(V_g)-V_g$ 之间的关系求得,根据在有磁场和无磁场条件下, GaAs MESFET 线性区源漏间电阻 $R_{ds}^+(V_g)-\eta(V_g)$ 和 $R_{ds}(V_g)-\eta(V_g)$ 之间的关系,用最优化方法,分离出本征沟道电阻 $R_i(V_g)-V_g$ 和 $R_i^+(V_g)-V_g$ 的关系,可以推算 GaAs MESFET 沟道的掺杂浓度分布 $N(x)$ 和迁移率分布 $\mu(x)$,由机助测试系统和数据处理程序可方便地获得结果

2 测试原理

根据均匀掺杂沟道的 GaAs MESFET 理论,Horwer 和 Bechtel^[1]引入了参变量 $\eta(V_g)$, GaAs MESFET 线性区源漏之间电阻 $R_{ds}(V_g)$ 可表达为 $\eta(V_g)$ 的线性函数

$$R_{ds}(V_g) = R_s + R_d + R_{ch}\eta(V_g) \quad (1)$$

其中

$$R_{ch} = \frac{L_g}{Nwq\mu a} \tag{2}$$

$$\eta(V_g) = \frac{1}{1 - \sqrt{\frac{V_b - V_g}{V_b - V_p}}} \tag{3}$$

在均匀掺杂沟道情况下:

$$\eta(V_g) = \frac{1}{1 - \frac{h(V_g)}{a}} \tag{4}$$

$$V_b - V_p = \frac{Nqa^2}{2\epsilon\epsilon_0} \tag{5}$$

式中 R_s 和 R_d 分别为 GaAs MESFET 的源和漏电阻; R_{ch} 为肖特基势垒耗尽层厚度为零时栅下沟道电阻; V_g 为外加栅电压; L_g 为栅长; N 为沟道掺杂的浓度; w 为栅宽; q 为电子电荷; μ 为电子迁移率; a 为沟道厚度; $h(V_g)$ 为肖特基势垒耗尽层厚度(如图 1 所示); $\eta(V_g)$ 为一无量纲量, 在均匀掺杂沟道情况下, 其物理意义是沟道厚度 a 与栅压为 V_g 时导电沟道厚度 $(a - h(V_g))$ 的比值; V_b 为栅肖特基势垒内建电势; V_p 为夹断电压; ϵ 为 GaAs 材料的相对介电常数; ϵ_0 为真空介电常数

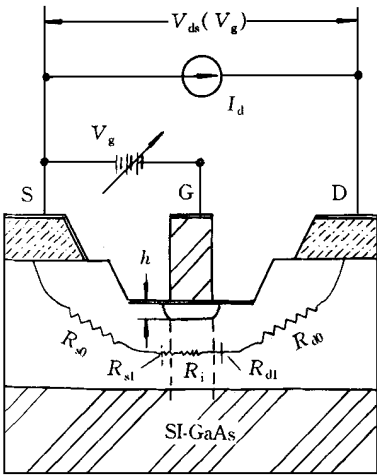


图 1 GaAs MESFET 测试模型

对于均匀掺杂沟道器件, 引入参变量 $\eta(V_g)$ 后, GaAs MESFET 线性区本征沟道电阻 $R_i(V_g)$ 可以表达为:

$$R_i(V_g) = R_{ch}\eta(V_g) \tag{6}$$

Fuji^[2] 根据 $R_{ds}(V_g) - \eta(V_g)$ 图, 由直线的斜率来确定 R_{ch} 的值, 将直线外推到与纵坐标 ($\eta(V_g) =$

0) 相交, 直线与纵坐标的截距求得 $R_{s0} + R_{d0}$ 的值 根据均匀掺杂沟道的 GaAs MESFET 理论, 由 (2) 式和 (5) 式可推算出沟道掺杂的浓度 N 和沟道厚度 a

对于非均匀掺杂沟道器件, 如果把 (3) 式对 $\eta(V_g)$ 的定义扩展到非均匀掺杂沟道器件 则 $R_{ds}(V_g)$ 与 $\eta(V_g)$ 偏离线性关系 (如图 2 所示). 为此, 我们将 $R_{ds}(V_g)$ 表达成 $\eta(V_g)$ 的一般函数形式, 以使用最优化方法从 $R_{ds}(V_g)$ 中分离出本征沟道电阻 $R_i(V_g)$.

GaAs MESFET 线性区源漏间电阻 $R_{ds}(V_g)$ 可划分为以下几个部分: 不随栅压变化的源电阻 R_{s0} 和漏电阻 R_{d0} , 随栅压变化的源电阻 R_{s1} 和漏电阻 R_{d1} 及栅下本征沟道电阻 $R_i(V_g)$ 所组成 (如图 1 所示). 其中的 $R_i(V_g)$ 并不一定与 $\eta(V_g)$ 成线性关系 因此,

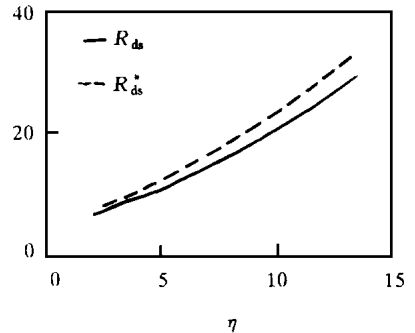


图 2 ——— $R_{ds}(V_g) - \eta(V_g)$ 曲线; - - - $R_{d0} + R_{s0} - \eta(V_g)$ 曲线

GaAs MESFET 线性区源漏间电阻 $R_{ds}(V_g)$ 可表达为一般形式:

$$R_{ds}(V_g) = R_{s0} + R_{d0} + R_{s1} + R_{d1} + R_i(V_g) \quad (7)$$

在磁场强度为 B 的磁场中, GaAs MESFET 线性区源漏间电阻也可表达为:

$$R_{ds}^*(V_g) = R_{s0}^* + R_{d0}^* + R_{s1}^* + R_{d1}^* + R_i^*(V_g) \quad (8)$$

如果我们知道在有磁场和无磁场条件下的本征沟道电阻 $R_i^*(V_g)$ 和 $R_i(V_g)$ 与 V_g 的函数, 就可算出 GaAs MESFET 沟道掺杂浓度分布 $N(x)$ 和迁移率分布 $\mu(x)$. 下面我们将推导在一般情况下, 由 $R_i^*(V_g)$ 和 $R_i(V_g)$ 函数计算 GaAs MESFET 沟道掺杂浓度分布 $N(x)$ 和迁移率分布 $\mu(x)$ 的计算公式

2.1 掺杂浓度分布测定公式

假设沟道中只有施主, 且全部离化, 沟道中导电电子浓度 $n(x) = N(x)$, 栅下沟道电导 $G_i(V_g)$ 可表达为:

$$G_i(V_g) = \frac{1}{R_i(V_g)} = \frac{qw n(x) \mu(x)}{h(V_g) L_g} dx \quad (9)$$

其中 $\mu(x)$ 为载流子在 x 平面上的横向迁移率; q 为电子电荷; w 为栅宽; L_g 为栅长; $h(V_g)$ 为在栅压 V_g 下, 栅下耗尽层宽度 (即耗尽层边界离开 GaAs 表面的距离 $x(V_g)$). 本征沟道电导随栅压 V_g 的变化率, 可表达为:

$$\frac{dG_i(V_g)}{dV_g} = \frac{dG_i(V_g)}{dh(V_g)} \times \frac{dh(V_g)}{dV_g} = \frac{-n(x)qw\mu(x)}{L_g} \times \frac{dh(V_g)}{dV_g} \quad (10)$$

根据电容的定义, 肖特基势垒本征栅电容 $C_{gs}(V_g)$ 可表达为:

$$C_{gs}(V_g) = \frac{dQ}{dV_g} = -n(x)qwL_g \frac{dh(V_g)}{dV_g} \quad (11)$$

(11) 式中的负号表示栅下耗尽层宽度 $h(V_g)$ 随栅压的增大而减小, $C_{gs}(V_g)$ 又可表达为:

$$C_{gs}(V_g) = \frac{\epsilon\epsilon_0 w L_g}{h(V_g)} \quad (12)$$

由(11)和(12)相等, 可得:

$$\frac{dh(V_g)}{dV_g} = \frac{-\epsilon\epsilon_0}{n(x)qh(V_g)} \quad (13)$$

将(13)式代入(10)式, 可得到 $h(V_g)$ 的测量公式:

$$x(V_g) = h(V_g) = \frac{\epsilon\epsilon_0 w \mu(x)}{L_g dG_i(V_g)/dV_g} \quad (14)$$

将(14)式代入(13)式, 整理后可得掺杂浓度分布的测量公式:

$$N(x) = n(x) = \frac{-2}{q\epsilon\epsilon_0} \times \left(\frac{L_g}{\mu(x)w}\right)^2 \times \left[\frac{d\left(\frac{dG_i(V_g)}{dV_g}\right)}{dV_g}\right]^{-1} \quad (15)$$

2.2 迁移率分布 $\mu(x)$ 测量公式

沟道纵向迁移率分布测定是利用半导体的几何磁阻效应. 当在垂直于 GaAs MESFET 表面的方向上存在强度为 B 的磁场时, 则源漏间电阻 $R_{ds}(V_g)$ 变为 $R_{ds}^*(V_g)$. 在栅压从 V_g 变到 $V_g + \Delta V_g$, 栅下耗尽层宽度从 $h(V_g)$ 变化到 $h(V_g + \Delta V_g)$.

$$\Delta h(V_g) = h(V_g + \Delta V_g) - h(V_g) \quad (16)$$

$\Delta h(V_g)$ 半导体薄层在无磁场时的电导为:

$$\Delta G_i(V_g) = G_i(V_g) - G_i(V_g + \Delta V_g) \quad (17)$$

在磁场强度为 B 的磁场中, $\Delta h(V_g)$ 层的电导改变为

$$\Delta G_i^*(V_g) = G_i^*(V_g) - G_i^*(V_g + \Delta V_g) \quad (18)$$

根据半导体几何磁阻效应原理^[3,4], 在弱磁场条件下 ($\mu_H B \ll 1$), 科比诺圆盘 (Corbino disk) 在有磁场和无磁场时的电阻 R_B 和 R_0 的比值为:

$$\frac{R_B}{R_0} = \frac{\rho_B}{\rho_0} (1 + \mu_H^2 B^2) \quad (19)$$

$$\frac{\rho_B - \rho_0}{\rho_0} = \xi \mu_H^2 B^2 \quad (20)$$

其中 ρ_B 和 ρ_0 分别为在有磁场和无磁场条件下半导体的电阻率; B 为磁场强度; μ_H 为霍尔迁移率; ξ 称为横向磁阻系数, 对于掺杂浓度 $> 10^{15}/\text{cm}^3$ 的 GaAs 材料来说, 电离杂质散射是载流子主要的散射机构, 所以 $\xi = 0.57$ ^[3,5]. 一般 GaAs MESFET 的单个栅宽 $w > 50\mu\text{m}$, 栅长 L_g 在亚微米量级, 即 $w \gg L_g$. 因此, 可以认为 GaAs MESFET 的横向磁阻效应类似于科比诺圆盘^[4]. 根据(19)式和(20)式, 在有磁场和无磁场条件下, 此 $\Delta h(V_g)$ 薄层电导的比值应为:

$$\frac{\Delta G_i(V_g)}{\Delta G_i^*(V_g)} = (\xi \mu_H^2 B^2 + 1) (1 + \mu_H^2 B^2) \quad (21)$$

GaAs MESFET 沟道掺杂浓度一般 $10^{16}/\text{cm}^3$ 左右, 对于 GaAs MESFET 材料而言, GaAs 导带中的载流子已处于简并状态, 故漂移迁移率 $\mu = \mu_H$. 解方程(21)式, 可求出漂移迁移率分布 $\mu(x)$ 的测量公式:

$$\mu(x) = \mu_H(x) = \frac{1}{B} \sqrt{-\frac{\xi+1}{2\xi} + \sqrt{\frac{\xi^2 - 2\xi + 1}{4\xi^2} + \frac{\Delta G_i(V_g)}{\xi \Delta G_i^*(V_g)}}} \quad (22)$$

(22)式可改写成微分形式:

$$\mu(x) = \frac{1}{B} \sqrt{-\frac{\xi+1}{2\xi} + \sqrt{\frac{\xi^2 - 2\xi + 1}{4\xi^2} + \frac{1}{\xi} \times \frac{dG_i(V_g)/dV_g}{dG_i^*(V_g)/dV_g}}} \quad (23)$$

一般霍尔法测定半导体材料迁移率时, 测量的是整个有源层的表观迁移率. 为了比较霍尔法与本法的测量结果, 我们引入平均迁移率 $\bar{\mu}$ 的概念. 用霍尔法测量 GaAs 材料时, 自然 GaAs 表面也因表面费米能级锁定现象而存在表面势垒^[6]. 可以合理地假设, 此表面内建势的值, 近似等于 V_b . 因此, 用霍尔法测量 GaAs 材料迁移率时的条件, 与在 $V_g = 0$ 的条件下, 用磁阻法测定 GaAs MESFET 沟道迁移率的条件相似. 在 $V_g = 0$ 时, 在有磁场条件下本征沟道电阻 $R_i^*(V_g)$ 与无磁场条件下本征沟道电阻 $R_i(V_g)$ 的比值为:

$$\frac{R_i^*(V_g)}{R_i(V_g)} = \frac{\rho_B}{\rho_0} (1 + \bar{\mu}_H^2 B^2) \quad (24)$$

由(24)式和(20)式, 可求出 $\bar{\mu}$:

$$\bar{\mu} = \bar{\mu}_H = \frac{1}{B} \sqrt{-\frac{\xi+1}{2\xi} + \sqrt{\frac{\xi^2 - 2\xi + 1}{4\xi^2} + \frac{G_i(0)}{\xi G_i^*(0)}}} \quad (25)$$

3 实验数据的最优化方法处理

在实际的 GaAs MESFET 中, 一般栅长 L_g 比有源层厚度大三倍以上. 二维数值分析表明, 栅耗尽层的横向扩展深度远小于纵向深度, 而且由于源漏间电流路径分布在栅的两侧下方随栅压变化不大, 因而我们可以近似地认为: $R_{s1} = R_{d1} = 0$ 和 $R_{s1}^* = R_{d1}^* = 0$. (7) 式和 (8) 式可改写为:

$$R_{ds}(V_g) = R_{s0} + R_{d0} + R_i(V_g) \quad (7)$$

$$R_{ds}^*(V_g) = R_{s0}^* + R_{d0}^* + R_i^*(V_g) \quad (8)$$

由于沟道是非均匀掺杂, 本征沟道电阻 $R_i(V_g)$ 与 $\eta(V_g)$ 成非线性关系. 从物理机构上来看(见图 2), $R_i(V_g)$ 应当是 $\eta(V_g)$ 的一个递增函数. 在 $\eta(V_g) > 0$ 的区域内, $\frac{dR_i^*(V_g)}{d(\eta(V_g))}$ 必须处处大于零. 而且, 当 $\eta(V_g) = 0$ 时, $R_i(V_g)$ 应当等于零. 原则上讲, 任何满足上述条件的函数形式都可作为 R_i 的表达形式. 只要在最优化过程中, 目标函数的极值能够达到所需要的精度即可. 作为一个例子, 我们将 $R_i(V_g)$ 展开成 $\eta(V_g)$ 的幂级数:

$$R_i(V_g) = A \eta(V_g) + B \eta^2(V_g) + C \eta^3(V_g) + \dots \quad (26)$$

在磁场强度为 B 时, 我们也将 $R_i^*(V_g)$ 展开成 $\eta(V_g)$ 的幂级数

$$R_i^*(V_g) = A^* \eta(V_g) + B^* \eta^2(V_g) + C^* \eta^3(V_g) + \dots \quad (27)$$

将 (26) 式和 (27) 式分别代入 (7) 式和 (8) 式可得到 $R_{ds}(V_g)$ 和 $R_{ds}^*(V_g)$ 的一般表达式:

$$R_{ds}(V_g) = R_{s0} + R_{d0} + A \eta(V_g) + B \eta^2(V_g) + C \eta^3(V_g) + \dots \quad (28)$$

$$R_{ds}^*(V_g) = R_{s0}^* + R_{d0}^* + A^* \eta(V_g) + B^* \eta^2(V_g) + C^* \eta^3(V_g) + \dots \quad (29)$$

为了求得 (28) 式中的 $(R_{s0} + R_{d0})$ 的值和待定系数 A 、 B 、 C ... 等的值, 我们采用最优化方法, 从实测的 $R_{ds}-V_g$ 数据中求出 $(R_{s0} + R_{d0})$ 和 A 、 B 、 C ... 等的值. 首先, 我们把 (28) 式作为原函数. 然后建立目标函数. 求解目标函数极小值时的变量值. 最优化方法的核心问题, 就是在某定域内求解目标函数的极值. 我们定义目标函数为:

$$F(x_1, x_2, \dots, x_n) = \sum_{j=1}^m \left(\frac{R_{dsj}(x_1, x_2, \dots, x_n) - r_{dsj}(\eta(V_g))}{r_{dsj}(\eta(V_g))} \right)^2 \quad (30)$$

其中 $r_{dsj}(x_1, x_2, \dots, x_n)$ 为 GaAs MESFET 源-漏间线性区电阻的计算值(即由原函数计算出的 R_{ds} 值), $r_{dsj}(\eta(V_g))$ 为实际测量值, n 为自变量的个数, m 为测量点的个数. 在我们的实验中, $m = 150$, $n = 6$, 自变量 $x_1 \sim x_6$ 分别为 (28) 式中的 A 、 B 、 C ... 和 $(R_{s0} + R_{d0})$. 我们采用单纯型调优法和鲍威尔法等最优化方法^[7] 求解目标函数极小值时变量的值. 用类似的方法, 也可求出 (29) 式中 A^* 、 B^* 、 C^* ... 和 $R_{s0}^* + R_{d0}^*$ 的值. 将求得的变量值代入 (26) 和 (27) 式求得 $R_i(V_g)$ 和 $R_i^*(V_g)$ 的函数表达式, 根据 (14)、(15) 和 (23) 式, 即可求出 GaAs MESFET 沟道中载流子浓度分布 $n(x)$ 和迁移率分布 $\mu(x)$.

4 实验方法

全部测试过程和数据处理, 均由计算机辅助测试系统自动完成^[8]. 肖特基势垒内建电势 V_b , 是用 $I-V$ 法测定. 夹断电压 V_p 值, 则是根据测定 $R_{ds}(V_g)-V_g$ 的关系, 换算成 $G_{ds}(V_g)-V_g$

关系(即 $\frac{1}{R_{ds}(V_g)}-V_g$ 关系),然后用曲线拟合法求出 $G_{ds}(V_g)$ 的函数表达式,并令此函数表达式等于零,由方程的解,求出 V_p 值.我们以 V_g 为参变量,在 $V_{ds}=0.026V$ 条件下(以确保栅耗尽层边界平行于GaAs表面),在有磁场和无磁场条件下,由计算机辅助测试系统自动逐点测量 $R_{ds}^*(V_g)-V_g$ 和 $R_{ds}(V_g)-V_g$ 关系.测到的原始数据,自动存入计算机数据区.由计算机数据处理程序将测到的 $R_{ds}^*(V_g)-V_g$ 及 $R_{ds}(V_g)-V_g$ 转换成 $R_{ds}^*(V_g)-\eta(V_g)$ 与 $R_{ds}(V_g)-\eta(V_g)$.然后,由最优化处理程序和沟道掺杂浓度分布及迁移率分布计算程序,求出GaAs MESFET的沟道掺杂浓度分布 $N(x)$ 及迁移率分布 $\mu(x)$.

5 实验结果

我们成功地用此法测定了一些GaAs MESFET沟道的掺杂浓度分布和迁移率分布.作为一个例子,图3给出用此法测定的一种离子注入GaAs MESFET的结果.

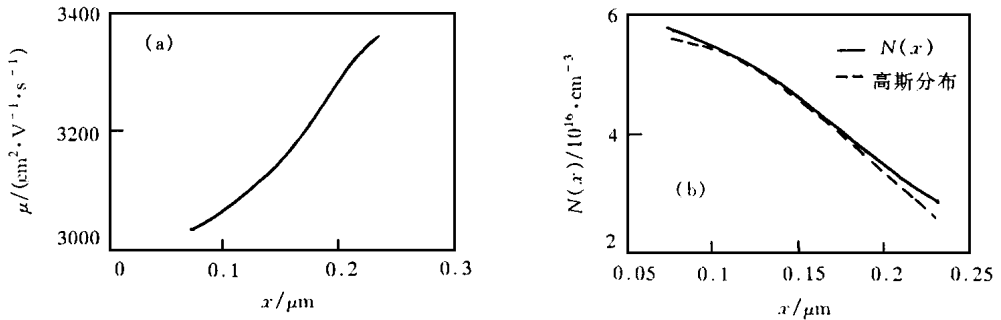


图3 (a) 迁移率分布图; (b) 掺杂分布图

—— 掺杂分布曲线; --- 高斯分布曲线

测得肖特基势垒内建电势 $V_b=0.725V$, 夹断电压 $V_p=-1.926V$. 测到的有源层掺杂分布,在 $x=0.06\sim 0.21\mu m$ 之间遵循高斯分布.其峰值在 $x=0.065\mu m$ 处浓度为 $N_{max}=0.5937\times 10^{17}/cm^3$. 方差 $\sigma=0.1336\mu m$. 平均沟道掺杂浓度为 $\bar{N}=0.475\times 10^{17}/cm^3$. 在 $x=0.1\mu m$ 区域内,掺杂分布偏离高斯分布,是因为为降低GaAs MESFET源漏电阻而引入的高掺杂浅注入层尾部的影响.由磁阻法测定的沟道平均迁移率 $\bar{\mu}=3215cm^2/(V\cdot s)$,此值与用普通霍耳法测定的GaAs外延层或离子注入有源层的霍耳迁移率相似($3000\sim 3800cm^2/(V\cdot s)$).该器件沟道的迁移率分布,朝衬底方向递增,从表面处的 $3038cm^2/(V\cdot s)$ 到界面的 $3363cm^2/(V\cdot s)$.沟道中迁移率朝衬底方向递增,说明此有源层-衬底界面质量比较好^[9].在对 $R_{ds}(V_g)$ 和 $R_{ds}^*(V_g)$ 实验数据最优化过程中,目标函数的极小值分别为 1.0447007×10^{-6} 和 1.06882×10^{-6} (见(30)式).因此,求得的原函数 $R_{ds}(V_g)$ 和 $R_{ds}^*(V_g)$ 与实测值拟合较好.实验结果表明,用本法测定的沟道掺杂浓度分布 $N(x)$ 及迁移率分布 $\mu(x)$ 与实际情况相符.此法可以便捷地原位测定GaAs MESFET沟道掺杂浓度分布 $N(x)$ 及迁移率分布 $\mu(x)$.

参 考 文 献

- [1] P. L. Horwer and N. G. Bechtel, IEEE Trans Electron Devices, 1973, **20**(2): 213
- [2] H. Fujui, Bell System Technical Journal, 1979, **58**(3): 771.
- [3] 刘恩科, 朱秉升, 等, 半导体物理学, 北京: 国防工业出版社, 1979 年, 320
- [4] F. Kuhrt, IEEE Trans Electron Devices, 1980, **27**(12): 2277.
- [5] H. Poth, Solid-State Electronics, 1978, **21**(6): 801.
- [6] P. Skeath, W. A. Saperstein *et al* , J. Vac Sci Technol, 1978, **15**(4): 1219.
- [7] 数学手册编写组, 数学手册, 北京: 高等教育出版社, 1979.
- [8] 张俊岳, 等, 适用于四端器件测试的计算机读入设备, 科技通讯, 1984, (3): 48
- [9] H. M. Cox and J. V. Dilibrezo, Inst Phys Conf Ser , 1976, **33**(B): 11.

In-situ Determination of Both Doping and Drift Mobility Profiles in GaAs MESFET

Zhang Youyu

(Hebei Institute of Semiconductor, Shijiazhuang 050051)

Cheng Zhaonian, Zhang Junyue

(Shanghai Institute of Metallurgy, The Chinese Academy of Sciences, Shanghai 200050)

Received 17 April 1997, revised manuscript received 15 November 1997

Abstract On Basis of optimization technique, a new method to determine both doping and drift mobility profiles ($n(x)$ and $\mu(x)$) in GaAs MESFET is presented. A model to determine these profiles is developed. Optimization technique is used in the data treatment. The computer-aided measurement system equipped with analytic program of this method is capable of providing correct results quickly.

PACC: 2560S